

徳島大学

学生員 ○村中秀樹

徳島大学工業短期大学部 正員

山崎辰三郎

"

森吉満助

1. まえがき

前報においてはアスファルトおよび2種のアスファルト混合物の応力緩和性状の測定方法およびその問題点について述べ、得られた緩和弾性率($E_a(t)$)と走りずみ速度圧縮試験による $E_a(t)$ との比較についても検討した。⁽¹⁾本報告は5種のアスファルトとアスファルト量85~6%の混合物を使用して、アスファルト混合物の $E_a(t)$ と(1)アスファルトの $E_a(t)$ 、(2)骨材体積率(C_v)、(3)フィラーの粒度、(4)骨材粒度の関係を検討するものです。

2. 実験概要

使用したアスファルト表-1に示す。マスチックアスファルトはAs量33.3%以上ではアスファルトとフィラー、25から15%ではアスファルト・フィラー・砂の混合物である。アスファルトコンクリート等の配合、フィラーの性質は後述する。供試体の作製、載荷装置、変位測定等は前報と同一であるが、本報告では設定期位をアスファルトおよびマスチックタイプでは0.25~0.5mm^m、アスモル、アスコン等では0.2mm^mとし、初期変形速度は2mm/minである。

3. 実験結果および考察

アスファルトおよび混合物の各温度における $E_a(t)$ に温度・時間換算則を適用して、各々のマスター曲線、シフトファクターも得ているが、本報告ではそれらについては省略する。

図-1はPen93を使用してAs量85~6%まで変化させ、骨材体積率(C_v)をパラメータにとりアスファルトの $E_a(t)$ と混合物の $E_a(t)$ の関係を示したものである。アスファルトの $E_a(t)$ と C_v が混合物の $E_a(t)$ の支配的要因であり、アスファルトの $E_a(t)$ が小になると C_v の影響が大きくなることが解る。

混合物の $E_a(t)$ が C_v とアスファルトの $E_a(t)$ にいかに影響されるか詳細に検討するため、1例として5°C、10秒の時の混合物の $E_a(t)$ と C_v の関係を図-2に示す。アスモル、アスコンは測定値が少ないが、 $E_a(t)$ の対数と C_v の関係はアスモル、アスコンとマスチックタイプの傾斜の異なる2本の直線となる。他の温度、載荷時間でもこれらの関係は同様で、マスチックタイプでは

$$\log \frac{E_{a\text{mix}}}{E_a} = K C_v \quad \text{但し, } E_{a\text{mix}}: \text{マスチックタイプの } E_a(t) \\ E_a: \text{アスファルトの } E_a(t)$$

となり、Kは温度、載荷時間あるいは E_a に依存する係数であり、 C_v には依存しない。図-1から各 E_a におけるKを求め図示すると図-3となる。この図は前述のアスファルトの $E_a(t)$ と C_v の効果の実際を示している。

以上の事は同一アスファルトを使用した時の関係であるが、次にアスファルトのコンシステンシーを変化させた場合を検討する。

針入度	44	71	72	93	130
軟化度	52.8	47.7	50.3	44.4	42.4
P.I.	-0.81	-0.96	-0.22	-1.20	-0.82

表-1 アスファルトの性状

No.	1	2	3	4	5	6	7	8	9	10	11
As量%	85	65	50	40	33.3	25	20	15	12	10	6
C_v	8.8/17.2	27.8	36.6	43.5	54.6	60.7	68.5	73.9	77.7	86.0	

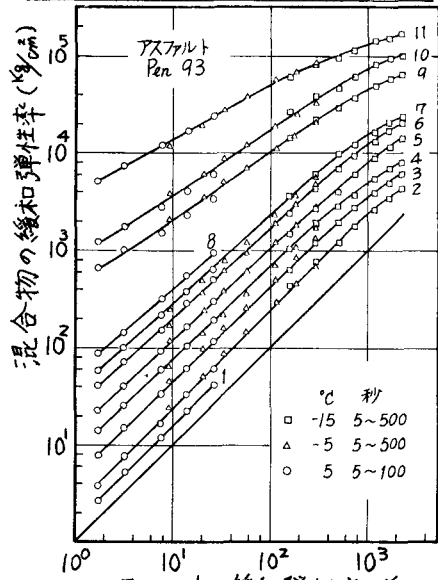
図-1 アスファルトと混合物の緩和弾性率と C_v の関係

図-4は針入度44から130まで変化させてアスファルトモルタル(As 量10%)の図示した各温度における $E_{r(t)}$ と C_v の関係を示す。5°Cでは混合物の $E_{r(t)}$ はアスファルトの針入度に相当影響され、 Pen が130から44になると約5倍大となるが、 $E_{r(t)}$ が 10^5 kg/cm²に近づくとその差は小となる。マスチック40%では-15°Cの最高値が約 10^4 kg/cm²であるのでアスモルの場合ほど明白でないが、 $E_{r(t)}$ が大きくなればアスファルトを変化させてもその影響が小となるのは同様である。図-5は図-4等から図-1と同様な関係を示したものであり、混合物の $E_{r(t)}$ とアスファルトの $E_{r(t)}$ 、 C_v の関係はアスファルトのコンステンシーを変化させても Pen 93の場合と同じく成立すると考えられる。

骨材の粒度、粒度が混合物の $E_{r(t)}$ にいかなる影響をおよぼすかあるいは C_v のみで充分であるのかを検討するため、フライアースの粒度等を変えたフライアスファルト混合物と As 量6.0% ($C_v=0.8598 \sim 0.8604$)の4種の舗装用混合物を使用して得られた結果を図-6と表-2に示す。表-3の V_{fR} はBS 812のフライアのDry Compaction装置で求めた体積率であり、図-6の C_e は $C_v/V_{fR} \times 100$ (%)によって得られる有效体積率である。⁽²⁾これらの詳細は講演時に収録する。

4.まとめ

(1)本実験方法によりアスファルトからアスファルトコンクリートの広範な $E_{r(t)}$ が測定可能である。(2)アスファルト混合物の $E_{r(t)}$ はアスファルト、配合、骨材粒度を変化させてもアスファルトの $E_{r(t)}$ と C_v により支配されると考えられるが、アスコン等とマスチックでは C_v の影響が異なり、またフライアスファルト混合物ではフライアの粒度による差が生じ C_v より C_e がより一般的である。

参考文献 (1) 山崎等、土木学会第30回年講演集

(2) W. Newkirk, A.A.P.T. Vol. 34.

緩和弾性率(kg/cm ²)						
	C	S	D	10"	100"	1000"
密粒度 Pen	58	36.1	5.9	20200	5680	1620
細粒度 Pen	42	49.9	8.1	20100	5600	1600
ロードゲージ	55	36.8	8.2	19400	5850	1660
特殊アスコン	55	30	15	19900	5220	1340

表-2 配合と緩和弾性率(5°C)

C: 粗骨材 % S: 細骨材 %

D: 0.074mm 以下 %

アスファルト Pen 71、アスファルト量6.0%

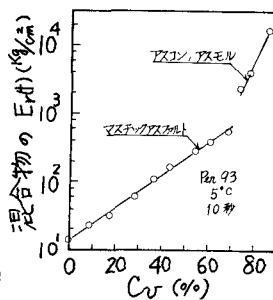


図-2 混合物の $E_{r(t)}$ と C_v の関係(5°C, 10°C)

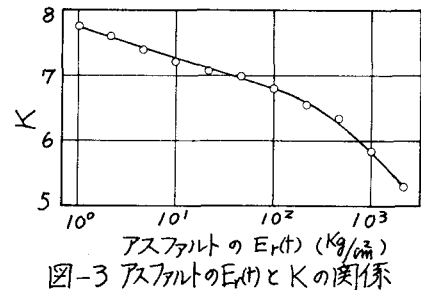


図-3 アスファルトの $E_{r(t)}$ とKの関係

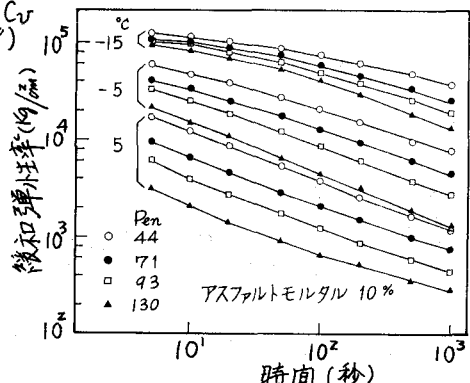


図-4 図示の温度、アスファルトの緩和弾性率

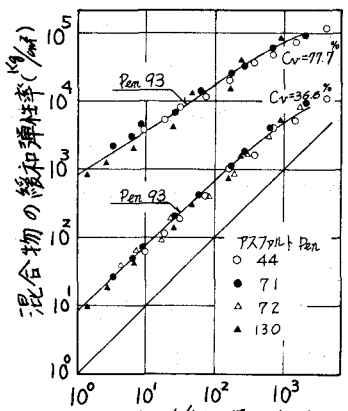


図-5 アスファルトの $E_{r(t)}$ と混合物の $E_{r(t)}$ (アスファルト変化)

NO	粒度 mm	粒径 %	V_{fR}
1	炭カルa	0.3~0.3	73.7
2	炭カルb	0.04~0.3	72.6
3	炭カルb	0.3~0.3	69.0
4	珪砂	0.3~0.3	65.8
5	消石灰	0.3~0.3	40.0
6	消石灰	0.074~0.3	38.9

表-3 フライアの性状

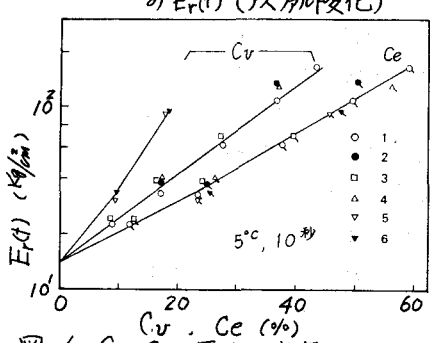


図-6 C_v , C_e と $E_{r(t)}$ の関係